

## บทที่ 2

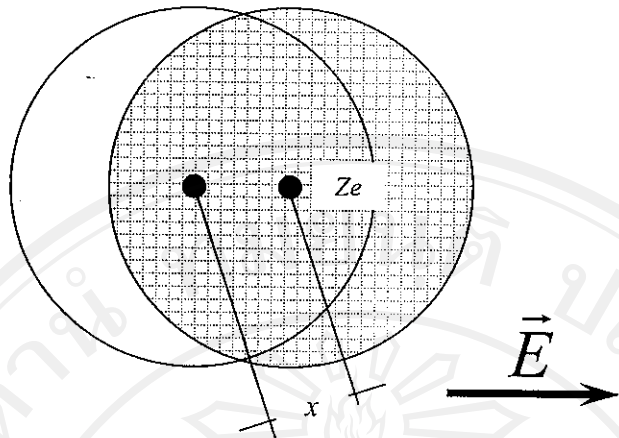
### วรรณกรรมปรัชญา

ในบทนี้จะกล่าวถึงข้อมูลพื้นฐานที่เกี่ยวกับ สมบัติไดอิเล็กทริก ความคื้นแบบแแกนเดียวย สารเซรามิกเลดแมกนีเซียม ในโอเบต-เลด ไทด์เเทเนต เลดอินเตียม ในโอเบต-เลด ไทด์เთเนต และ เลดเซอร์โคเนต ไทด์เთเนต-เลดซิงค์ ในโอเบต รวมทั้งผลของความคื้นแบบแแกนเดียวยต่อสมบัติไดอิเล็กทริกของสารเซรามิก ดังรายละเอียดต่อไปนี้

#### 2.1 สมบัติไดอิเล็กทริก[9-11]

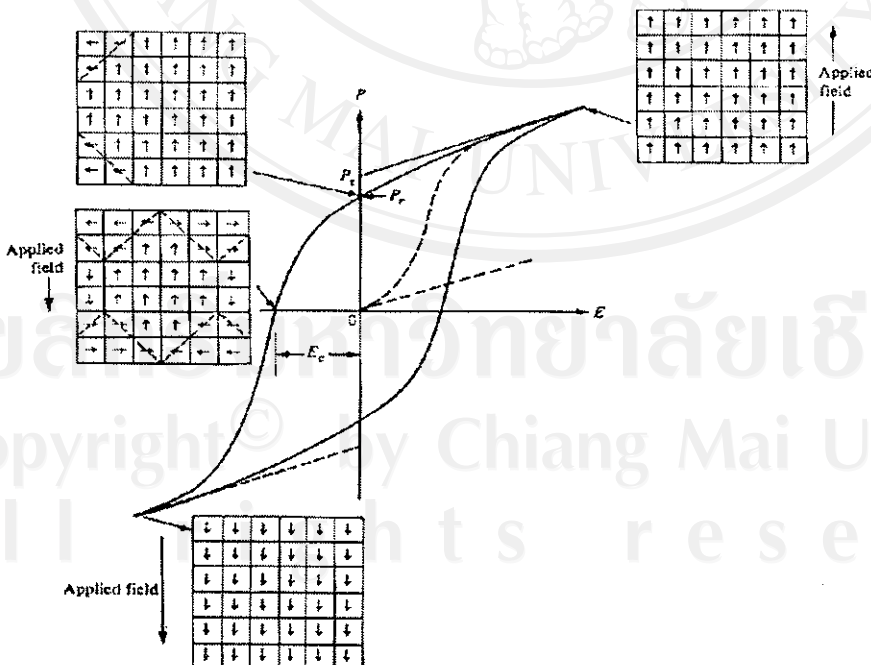
สารที่มีสมบัติไดอิเล็กทริก คือ สารที่มีสมบัติเป็นอนุวัติสามารถเก็บประจุไฟฟ้าได้ และ ค่าคงที่ไดอิเล็กทริกเป็นค่าที่บ่งบอกความสามารถในการเก็บประจุของสารไดอิเล็กทริกนั้นๆ หรือบอกให้ทราบว่าค่าความจุของตัวเก็บประจุที่ใช้สารไดอิเล็กทริกนั้นๆ จะเพิ่มขึ้นเป็นกี่เท่าตัวของตัวเก็บประจุสูญญาณ

ทั้งนี้สารทุกชนิดจะประกอบด้วยส่วนย่อยที่เรียกว่าโมเลกุล ซึ่งโมเลกุลปกติประกอบด้วย กลุ่มโปรตอน และกลุ่มอิเล็กตรอน โดยมีจุดศูนย์กลางมวลร่วมกันและอยู่ภายในไดแรงยีดเหนี่ยว ระหว่างโมเลกุลและแรงยีดเหนี่ยวภายในอะตอม เมื่อมีแรงจากสนามไฟฟ้ามากระทำกับโมเลกุลจะ ทำให้โมเลกุลเกิดการแยกประจุ โดยที่กลุ่มประจุบวกจะถูกผลักไปในทิศทางตามสนามไฟฟ้า และ กลุ่มประจุลบจะเคลื่อนที่ไปในทิศทางสวนทางกับสนามไฟฟ้า ดังนั้น โมเลกุลทุกโมเลกุลของสารก็ จะก่อตัวเป็นโมเมนต์ขั่วคู่ (dipole moment) เล็กๆ และซึ่งในทิศทางเดียวกับทิศของสนามไฟฟ้าที่ให้ เข้าไป ซึ่งสารไดอิเล็กทริกประเภทนี้เป็นสารประเภทโมเลกุลไม่มีขั่ว (non-polar molecule) ดังรูป 2.1 นอกจากนี้ยังมีสารไดอิเล็กทริกบางชนิดที่มีโมเลกุลก่อตัวเป็นโมเมนต์ขั่วคู่อยู่แล้ว แต่ทิศทาง ของขั่วคู่ไฟฟ้า (electric dipole) ซึ่งในทิศทางที่ไม่เป็นระเบียบ (random) และเมื่อมีแรงจาก สนามไฟฟ้าภายนอกมากระทำต่อโมเลกุล จะทำให้ขั่วคู่เล็กๆ เหล่านี้เรียงตัวในทิศทางเดียวกันอย่าง เป็นระเบียบ ซึ่งเรียกโมเลกุลประเภทนี้ว่า โมเลกุลมีขั่ว (polar molecule) และเรียกโมเมนต์ประเภท นี้ว่า ขั่วคู่ถาวร (permanent dipole)[10]



รูป 2.1 ลักษณะของสารไดอิเล็กทริกที่เป็นสารไม่มีข้าวเมื่อมีสนามไฟฟ้าทำให้เกิดโมเมนต์ข้าวคู่[12]

มีสารบางชนิดที่ข้าวคู่ของโมเลกุลเรียงตัวกันได้เอง โดยไม่ต้องใช้สนามไฟฟ้าจากภายนอก และข้าวคู่ของโมเลกุลเหล่านี้ยังสามารถเปลี่ยนแปลงทิศทางได้ เมื่อมีการให้สนามไฟฟ้าจากภายนอก เข้าไป ซึ่งสารชนิดนี้เรียกว่า สารเฟอร์โรอิเล็กทริก (ferroelectric materials) และจะสามารถแสดง อำนาจไฟฟ้าด้วยตัวของมันเอง ซึ่งจะสามารถสังเกตสมบัติของสารชนิดนี้ได้จากเฟอร์โรอิเล็กทริก ฮิสเตอริซิส (Ferroelectric hysteresis) ดังรูป 2.2 โดยมีตัวอย่างของสารในกลุ่มนี้ เช่น แบนเรย์มไทด์ เนต ( $\text{BaTiO}_3$ ) เป็นต้น



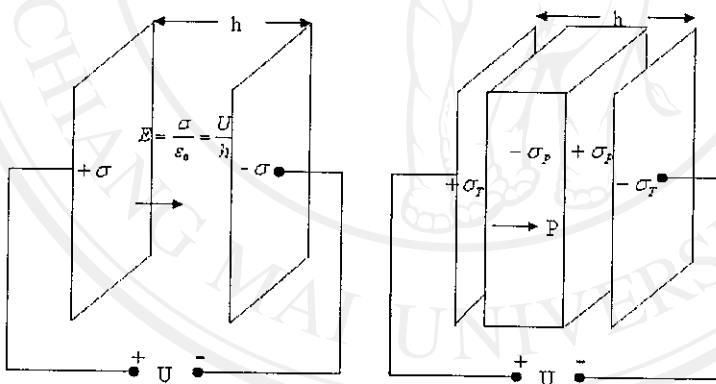
รูป 2.2 แสดงความสัมพันธ์ E-P ของสารเฟอร์โรอิเล็กทริก[23]

ซึ่งลักษณะของ Graf มีรูปร่างคล้ายกับกราฟแสดงความสัมพันธ์ระหว่าง ความเข้มสนามแม่เหล็กกับฟลักซ์แม่เหล็ก(B-H) ในวัสดุแม่เหล็ก แต่เฟร์โรอิเล็กทริกชีสเทอร์ซีจะแสดงความสัมพันธ์ระหว่างสนามไฟฟ้ากับโพลาไรซ์เช่นน้ำภายในของสาร(E-P)

ลักษณะของการที่ไม่เลกูลของสาร ไดอิเล็กทริกก่อตัวเป็นคู่เด็กๆ แล้วจัดเรียงตัวกันในสนามไฟฟ้าเรียกว่า โพลาไรซ์เช่น (polarization) โดยกำหนดให้โพลาไรซ์เช่นเป็นจำนวนโมเมนต์ข้าวคู่ (dipole moment) ต่อหน่วยปริมาตร ถ้า  $N$  เป็นจำนวนโมเลกุลต่อหน่วยปริมาตรและทุกๆ โมเลกุลมีโมเมนต์ข้าวคู่เป็น  $\vec{p}$  ดังนั้นจะได้โพลาไรซ์เช่นเป็น  $\vec{P}$  เช่น

$$\vec{P} = N\vec{p} \quad (2.1)$$

และเมื่อสาร ไดอิเล็กทริกถูกโพลาไรซ์โดยการให้สนามไฟฟ้าแก่สาร ไดอิเล็กทริกโดยผ่านแผ่นตัวนำคู่ขานานดังรูป 2.3 สมบัติทางแม่เหล็กไฟฟ้าจะเปลี่ยนไปโดยพิจารณาจาก Gauss's theorem



รูป 2.3 ลักษณะตัวเก็บประจุแผ่นคู่ขานาน[9]

โดยที่สนามไฟฟ้าที่เกิดขึ้นระหว่างแผ่นคู่ขานานที่เป็นสัญญาณ คือ

$$E = \frac{\sigma}{\epsilon} \quad (2.2)$$

และเมื่อให้ความต่างศักย์ขานาคเดียวกันแก่แผ่นคู่ขานานที่มีสาร ไดอิเล็กทริกอยู่ระหว่างกลาง สนามไฟฟ้าที่เกิดขึ้น คือ

$$E = \frac{\sigma_T - \sigma_P}{\epsilon_0} \quad (2.3)$$

$$\sigma_r = \epsilon_0 \vec{E} + \sigma_p \quad (2.4)$$

หรือ  $\vec{D} = \epsilon_0 \vec{E} + \vec{P} \quad (2.5)$

โดยที่  $\sigma_p$  หรือ  $\vec{P}$  คือ จำนวนโพลาไรซ์ชั้น

$\sigma_r$  หรือ  $\vec{D}$  คือ total charge density or dielectric displacement

$\vec{E}$  คือ สนามไฟฟ้าในตัวกลาง

$\epsilon_0$  คือ สภาพย้อมของสุญญากาศมีค่า  $8.854 \times 10^{-12} \text{ F/m}$

สมบัติอีกอย่างหนึ่งของสาร ไดอิเล็กทริก คือ มีสภาพอ่อนไหวทางไฟฟ้าหรือ ความชัน ซึ่งทางไฟฟ้า  $\chi$  (electric susceptibility) กำหนดได้ด้วยสมการ (2.6)

$$\vec{P} = \epsilon_0 \chi \vec{E} \quad (2.6)$$

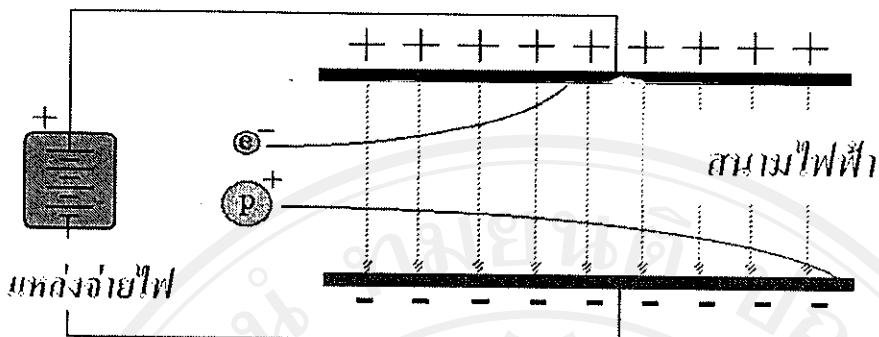
จากสมการ (2.5) และสมการ (2.6) จะได้สมการดังนี้

$$\begin{aligned} \vec{D} &= \epsilon_0 \vec{E} + \epsilon_0 \chi \vec{E} \\ &= \epsilon_0 (1 + \chi) \vec{E} \\ &= \epsilon_0 \epsilon_r \vec{E} \end{aligned} \quad (2.7)$$

เราเรียกเหตุ  $(1+\chi)$  หรือ  $\epsilon_r$  ว่า ค่าสภาพย้อมสัมพัทธ์ (relative permittivity) หรือค่าคงที่ ไดอิเล็กทริก (dielectric constant) อาจเปลี่ยนสมการที่ (2.7) ได้ดังนี้

$$\vec{D} = \epsilon \vec{E} = \epsilon_0 \epsilon_r \vec{E} \quad (2.8)$$

โดยที่  $\epsilon$  เรียกว่า สภาพย้อมของสาร ไดอิเล็กทริก (permittivity)



รูป 2.4 ตัวเก็บประจุแบบคู่ขนาน[4]

สารไอดีเล็กทริกเป็นอัตราส่วนที่ใช้กำหนดที่คั่นระหว่างตัวนำของตัวเก็บประจุ เพื่อกันและทำให้แรงดันสูงขึ้นกว่าก้าชรวมทั้งอากาศด้วย โดยมีค่าคงที่เป็นตัวเลขที่บอกรายว่าค่าความจุของตัวเก็บประจุที่ใช้สารไอดีเล็กทริกจะเพิ่มขึ้นเป็นเท่าของตัวเก็บประจุสูญญากาศ ดังสมการ

$$C = \epsilon_r C_0 \quad (2.9)$$

เมื่อ  $C_0$  คือ ค่าความจุของตัวเก็บประจุของตัวเก็บประจุสูญญากาศ

$C$  คือ ค่าความจุของตัวเก็บประจุที่มีสารไอดีเล็กทริกซึ่งมีค่าคงที่ไอดีเล็กทริก เป็น  $\epsilon_r$

โดยปกติค่าคงที่ไอดีเล็กทริกจะแสดงเป็นค่าสัมพัทธ์ ( $\epsilon_r$ ) เทียบกับค่าสภาพอนุของสูญญากาศ ( $\epsilon_0$ ) คือ

$$\epsilon = \epsilon_0 \epsilon_r \quad (2.10)$$

และจากความสัมพันธ์  $C = Q/V$  สำหรับกรณีที่ไม่มีสารไอดีเล็กทริกจะได้ว่า

$$C = \frac{\epsilon_0 A}{d} \quad (2.11)$$

เมื่อ  $A$  คือ พื้นที่หน้าตัดของแผ่นไอดีเล็กทริก

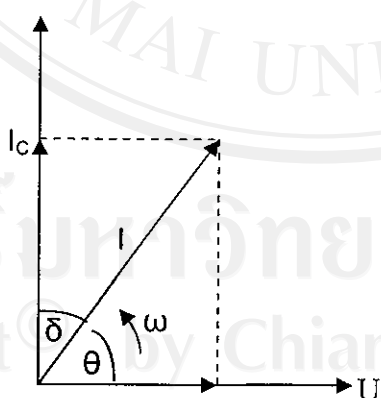
$d$  คือ ความหนาของสารไอดีเล็กทริก

สำหรับตัวเก็บประจุที่มีสารໄอดิอิเล็กทริกที่มีค่าคงที่ได้อิเล็กทริก  $\epsilon_r$  จะได้ว่า

$$C = \frac{\epsilon_r \epsilon_0 A}{d} \quad (2.12)$$

ในทางปฏิบัติ เมื่อสารໄอดิอิเล็กทริกอยู่ในสนามไฟฟ้ากระแสสลับ พฤติกรรมของสารจะต่างออกไปจากเมื่ออยู่ในสนามไฟฟ้ากระแสตรง ซึ่งเมื่อพิจารณาสนามไฟฟ้ากระแสสลับ สนามไฟฟ้าจะสลับตาม รูปแบบของคลื่นไอน์ ( $E = E_0 \sin(\omega t)$ ) ดังนั้น เมื่อให้สนามไฟฟ้ากระแสสลับ แก่สารໄอดิอิเล็กทริก คุณภาพภายในสารໄอดิอิเล็กทริกจะเกิดการเปลี่ยนแปลงกลับไปกลับมา ตามความถี่ของสนามไฟฟ้ากระแสสลับที่ให้ ณ ความถี่สูง ได้ผลจะกลับตัวไม่ทันกับสนามไฟฟ้าที่ให้ ส่งผลให้เกิดรีแลกเซชัน (relaxation) ขึ้น หรืออาจกล่าวได้ว่า สนามไฟฟ้าเป็นพลังงานแบบหนึ่งซึ่งเมื่อให้สนามไฟฟ้าแก่สารໄอดิอิเล็กทริก คุณวิ่งในสารໄอดิอิเล็กทริกจะใช้พลังงานที่ให้ในการกลับตัวไป-มา แต่เมื่อที่ความถี่สูงๆ คุณวิ่งจะกลับตัวตามความถี่ไม่ทัน เมื่อกลับไม่ทันคุณวิ่งจะไม่กลับตัว และเมื่อไม่กลับตัวแต่ยังรับพลังงานจากสนามไฟฟ้าอยู่พลังงานที่สารໄอดิรับจะค่อยๆ สะสมเกิดเป็นความร้อนขึ้นเป็นการสูญเสียในสารໄอดิอิเล็กทริก นอกเหนือนี้ความด้านทานภายในจะมีค่าลดลง จึงทำให้เกิดเฟสของกระแสไฟฟ้านำหน้าความต่างศักย์น้อยกว่า 90 องศา ซึ่งโดยปกติแล้ว กระแสที่ไฟลั่นตัวเก็บประจุจะมีเฟสนำหน้าความต่างศักย์เป็นมุน 90 องศาดังรูป

2.5



รูป 2.5 ลักษณะมุมเฟสในตัวเก็บประจุในทางปฏิบัติ[9]

ดังนั้นทำให้เกิดการสูญเสียพลังงานเฉลี่ยเป็น

$$P_d = \frac{1}{2} (VI_c \tan \delta) = \frac{1}{2} (V^2 \omega C \tan \delta) \quad (2.13)$$

โดยที่  $\tan \delta$  เรียกว่า การสูญเสียทาง ไดอิเล็กทริก (dielectric loss tangent)

## 2.2 ความคื้นแบบแกนเดี่ยว (uniaxial Stress)

ความคื้น (stress) เป็นสมบัติเชิงกลของวัสดุ ที่เป็นแรงต้านทานภายในของวัสดุที่พยายามต้านแรงภายนอกที่มีการกระทำ เพื่อไม่ให้วัสดุเปลี่ยนแปลงขนาดและรูปร่าง โดยแรงต้านนี้จะกระทำอย่างสม่ำเสมอบนพื้นที่หน้าตัดของวัสดุ ดังนั้นจะได้ว่า

$$S = \frac{F}{A} \quad (2.14)$$

เมื่อ  $S$  คือ ความคื้น (stress)

$F$  คือ แรงภายนอกที่มีการกระทำต่อวัสดุ

$A$  คือ พื้นที่หน้าตัด

ความคื้นจะมีหน่วยเป็น นิวตัน/เมตร<sup>2</sup> ( $N/m^2$ ) หรือพาสคาล (Pascal, Pa) และจะขึ้นกับลักษณะของแรงภายนอกที่มีการกระทำ เช่น วัสดุมีอ้อยในสภาพถูกดึง (tension) จะเกิดความคื้นดึง (tensile stress) ถ้าวัสดุถูกกดหรืออัด (compression) จะเกิดความคื้นกด (compressive stress) หรือวัสดุได้รับแรงที่ทำให้ผิวด้านหนึ่งเคลื่อนที่ผ่านผิวด้านตรงข้ามในลักษณะที่ถูกเฉือน (shear) จะเกิดความคื้นเฉือน (shear stress) ในขณะที่ความคื้นแบบแกนเดี่ยว (uniaxial stress) เป็นแรงที่กระทำต่อวัสดุในทิศทางแกนเดียวเท่านั้น จะไม่มีแรงจากแกนอื่นมากระทำ เพราะจะทำให้เกิดความคื้นเฉือน

เมื่อวัสดุได้รับแรงกระทำจากภายนอก จะมีการเปลี่ยนแปลงขนาดและรูปร่างในทิศทางที่แรงมากจะทำให้อกตัวเดิน (strain) จะได้ว่า

$$e = \frac{\Delta L}{L} \quad (2.15)$$

เมื่อ	$e$	คือ ความเครียด (strain)
	$\Delta L$	คือ ความยาวของชิ้นวัสดุที่เปลี่ยนแปลงไป
	$L$	คือ ความยาวของชิ้นวัสดุเดิม

ความเครียดไม่มีหน่วยระบุไว้ แต่นิยมบอกเป็น % elongation จะได้ว่า

$$\% \text{elongation} = \frac{\Delta L}{L} \times 100 \quad (2.16)$$

ความสัมพันธ์ระหว่างความกีดกันและความเครียดจะแสดงด้วยค่าอัลตราโนดูลัส (elastic modulus) หรือเรียกว่าค่าโนดูลัสของยัง (Young's modulus) ซึ่งเป็นสมบัติของวัสดุที่สามารถแสดงถึงความแข็งแรงของวัสดุได้โดยที่

$$E = \frac{S}{e} \quad (2.17)$$

เมื่อ	$E$	ค่าอัลตราโนดูลัส หรือโนดูลัสของยัง
	$S$	ค่าความกีดกัน
	$e$	ค่าความเครียด

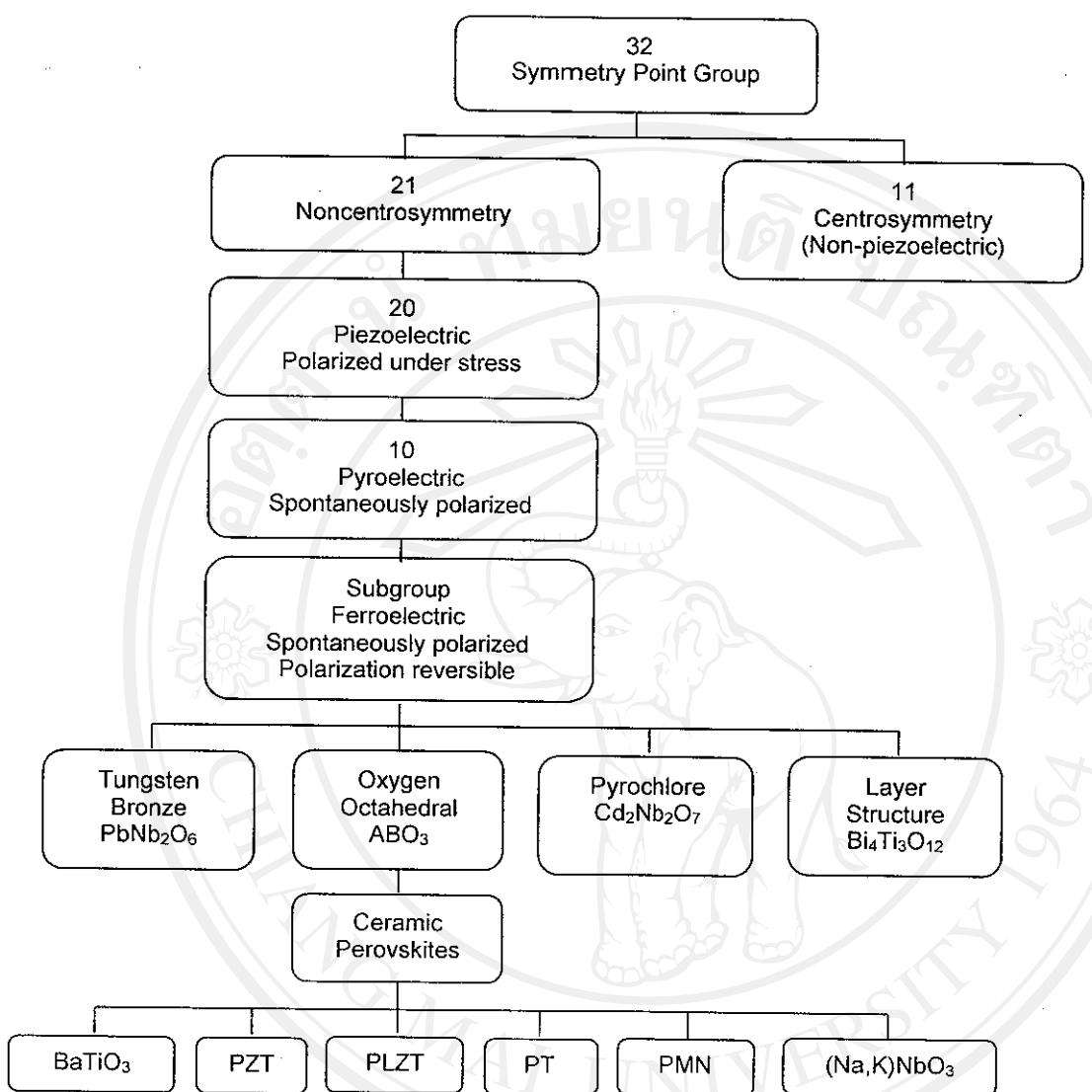
### 2.3 ข้อมูลเบื้องต้นของสารเซรามิกเลดไทเทเนต, เลดเซอร์โคเนตไทเทเนต, เลดแมgnезิเมี่ยนไนโอล, เบต, เลดอินเดียมไนโอลเบต, และเลดซิงค์ไนโอลเบต

ในระหว่าง ก.ศ.1880-1882 Pierre and Jacques Curie [1] ได้ทำการทดลองครั้งแรกเกี่ยวกับความสัมพันธ์ของปรากฏการณ์พิโซอิเล็กทริก (Piezoelectricity) กับสารประกอบผลึกเชิงเดียว (single crystal compounds) และในสารเฟร์โรอิเล็กทริก ซึ่งการทดลองกระทำโดยการวัดประจุบนผิวของสารตัวอย่างและพบว่าประจุดังกล่าวแปรผันกับแรงกด สมบัติดังกล่าวภายหลังถูกนานา

นามว่าสมบัติพิโซอิเล็กทริก ปรากฏการณ์พิโซอิเล็กทริกเป็นปรากฏการณ์ที่สารสามารถเปลี่ยนแปลงโพลาไรเซชัน (polarization) ทางไฟฟ้าเมื่อได้รับพลังงานกด ในทำนองกลับกันเมื่อสารได้รับสนามไฟฟ้าก็จะเกิดการเปลี่ยนแปลงขนาดและปริมาณต่างๆ ได้ ซึ่งสมบัติพิโซอิเล็กทริกมักจะพบได้ในสารเฟอร์โรอิเล็กทริก

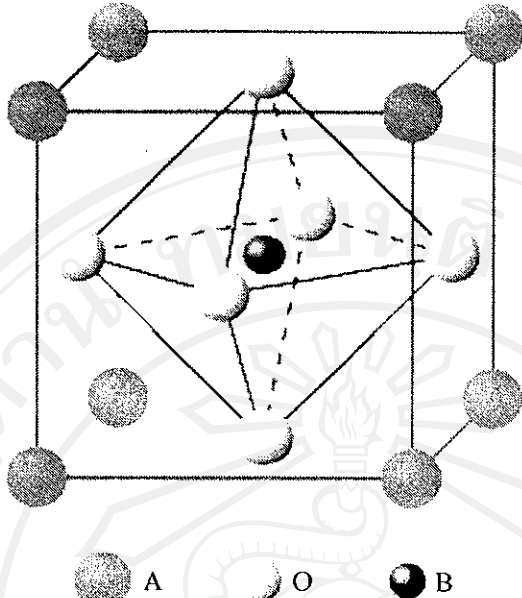
ความเป็นเฟอร์โรอิเล็กทริกของวัสดุจะขึ้นอยู่กับสมบัติของหน่วยเซลล์ (unit cell) ของโครงสร้างพื้นฐานของวัสดุ หากการแบ่งกลุ่มสมมาตรของผลึกแล้วสามารถ แบ่งออกได้เป็น 32 กลุ่ม [1] ใน 32 กลุ่มจะถูกแบ่งออกเป็น 2 พาก คือ 11 กลุ่มที่มีหน่วยเซลล์สมมาตรกับจุดศูนย์กลาง และ อีก 21 กลุ่มที่มีหน่วยเซลล์ไม่สมมาตรกับจุดศูนย์กลาง และใน 21 กลุ่มนี้มีเพียง 20 กลุ่มเท่านั้น ที่แสดงสมบัติพิโซอิเล็กทริก ใน 20 กลุ่มนี้จะมีเพียง 10 กลุ่มเท่านั้นที่มีข้อในตัวเอง (spontaneous polarization,  $P_s$ ) คือ เกิดโพลาไรเซชันได้ด้วยตัวของสารเอง โดยไม่ต้องมีการให้สนามไฟฟ้าเข้าไป ดังรูป 2.6 เมื่อสารเฟอร์โรอิเล็กทริกถูกนำมายังไฟฟ้าจะแตกต่างจากสาร ไดอิเล็กทริก ทั่วไป โดยเมื่อยกขึ้นไปได้สนามไฟฟ้าที่แรงพอจะทำให้ทิศทางของโพลาไรเซชันเปลี่ยนทิศทางได้ และเมื่อลดสนามไฟฟ้าลงจนเป็นศูนย์ ค่าโพลาไรเซชันจะไม่ลดลงเป็นศูนย์เหมือนสาร ไดอิเล็กทริก ทั่วไป แต่ค่าโพลาไรเซชันจะลดลงเป็นศูนย์เมื่อให้สนามไฟฟ้าจนมีค่าเป็น  $E_c$  ( $E_c$  คือ coercive field) จึงทำให้เกิดวงจรไฮสเตอริซิส (hysteresis loop) ดังรูป 2.2 ซึ่งเป็นลักษณะเฉพาะของสารเฟอร์โรอิเล็กทริก[4]

ลิขสิทธิ์มหาวิทยาลัยเชียงใหม่  
Copyright © by Chiang Mai University  
All rights reserved



รูป 2.6 แผนภาพแสดงการแบ่งกลุ่มวัสดุตามสมมาตร (symmetry)[1]

เซรามิกเดคไทเทเนต (PT), เลดเซอร์โคเนตไทเทเนต (PZT), เลดแมกนีเซียมไนโอลेट (PMN), เลดอินเดียมไนโอลेट (PIN) และเดซิงค์ไนโอลेट (PZN) ต่างก็เป็นสารเซรามิกเฟรโรอิเล็กทริกที่จัดอยู่ในกลุ่มของเซรามิกที่มีโครงสร้างแบบเพอร์อพส์ไกต์ (perovskite) ซึ่งเป็นชื่อของกลุ่มที่มีโครงสร้างของแร่แคลเซียมไทเทเนต ( $\text{CaTiO}_3$ ) ที่มีสูตรทั่วไปเป็น  $\text{ABO}_3$  อย่างไรก็ตาม แคลเซียมไทเทเนตไม่ได้แสดงสมบัติเฟรโรอิเล็กทริก แต่สารที่ถูกค้นพบภายหลังที่มีสมบัติทางเฟรโรอิเล็กทริกหลายชนิดมีโครงสร้างอยู่ในกลุ่มนี้ เช่น แบนเรย์มไทเทเนต ( $\text{BaTiO}_3$ ), เลดไทเทเนต ( $\text{PbTiO}_3$ ) และเลดเซอร์โคเนตไทเทเนต ( $\text{Pb}(\text{Zr}_{x}\text{Ti}_{1-x})\text{O}_3$  หรือ PZT) เป็นต้น ซึ่งลักษณะโครงสร้างแบบเพอร์อพส์ไกต์จะมีลักษณะเป็นโครงสร้างดังแสดงในรูป 2.7



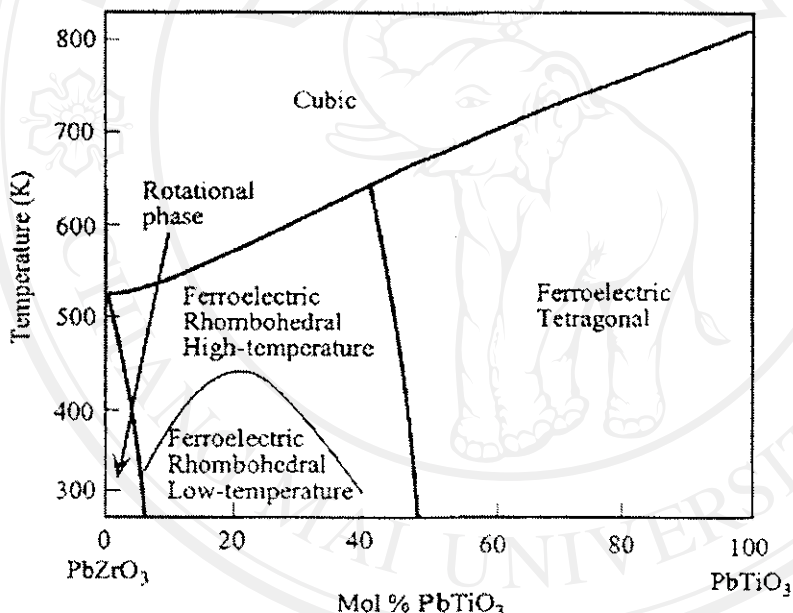
รูป 2.7 ลักษณะโครงสร้างผลึกแบบเพอร์อฟส์ไกต์[9]

เลดไทเทเนต ( $\text{PbTiO}_3$ ) เป็นสารเฟอร์โรอิเล็กทริกที่มีอุณหภูมิคือรู้ที่  $495^\circ\text{C}$  ซึ่งมีค่าสูงมาก และมีโครงสร้างแบบเตต拉หกอนอลคล้ายกึ่งกับแบบเรียบๆ ไทเทเนต แต่การเตรียมเซรามิกเลดไทเทเนตให้มีความหนาแน่นสูงทำได้ยากมากถ้าปราศจากการเติมสารเจือ เนื่องจากเมื่อทำการลด อุณหภูมิผ่านจุดคู่รี จะทำให้เซรามิกเลดไทเทเนตเปลี่ยนสภาพวิบากที่มีสมบัติเป็นพาราอิเล็กทริก ไปเป็นเตต拉หกอนอล ซึ่งแกน c ของหน่วยเซลล์ของเลดไทเทเนตในขณะที่เป็นเตต拉หกอนอลนั้นมี ความยาวมากกว่าแกน a ถึง 6% ทำให้เซรามิกเลดไทเทเนตมักจะแตกเป็นชิ้นๆ ในทางปฏิบัติแล้ว เลดไทเทเนตนั้นไม่มีประโยชน์มากนัก แต่การพัฒนาสารละลายนองแข็งของเลดไทเทเนตกับสาร อื่น เช่น เลดเซอร์โโคเนต ( $\text{PbZrO}_3$ ) ก็เดิมเป็นสารที่เรียกว่าเลดเซอร์โโคเนต ไทเทเนตหรือที่รู้จักกันใน ชื่อ PZT นั้นก่อให้เกิดประโยชน์มากมายในการประยุกต์ใช้งานเป็นเซรามิกพิโซอิเล็กทริก[4]

เลดเซอร์โโคเนต ไทเทเนต เป็นสารเฟอร์โรอิเล็กทริกที่นิยมนำมาใช้อย่างแพร่หลายในการ ฉุตสาหกรรมเนื่องจากแสดงสมบัติพิโซอิเล็กทริกได้ดี มีค่าสัมประสิทธิ์คู่ควบไฟฟ้าเชิงกล (electromechanical coupling coefficient) และมีอุณหภูมิคือรีสูง 适格ให้สามารถใช้งานที่อุณหภูมิ สูงได้ ที่สำคัญสามารถเตรียมได้ง่ายและหลากหลายองค์ประกอบและอุณหภูมิที่ใช้ในการเตรียมก็ ไม่สูงมากนัก เลดเซอร์โโคเนต ไทเทเนตเป็นสารละลายนองแข็งที่เกิดจากเลดเซอร์โโคเนต (Lead Zirconate,  $\text{PbZrO}_3$ ) ซึ่งมีสมบัติเป็นแอนติเฟอร์โรอิเล็กทริก (antiferroelectric) และมีโครงสร้างเป็น ออร์โท- รองบิก (orthorhombic) กับ เลดไทเทเนต (Lead Titanate,  $\text{PbTiO}_3$ ) ซึ่งแสดงสมบัติเฟอร์โรอิเล็กทริก และมีโครงสร้างเพอร์อฟส์ไกต์แบบเตต拉หกอนอล (tetragonal perovskite) ซึ่งเมื่อรวมกัน

เป็น PZT แล้วจะมีโครงสร้างเป็นแบบ เพอร์อฟสไกท์ ซึ่งไอออน ของ  $Ti^{4+}$  และ  $Zr^{4+}$  อยู่ ณ ตำแหน่ง B และ ไอออนของ  $Pb^{2+}$  อยู่ ณ ตำแหน่ง A ของหน่วยเซลล์

ที่อุณหภูมิสูงกว่าอุณหภูมิคิวบิก เซรามิก PZT จะมีโครงสร้างเป็น เพอร์อฟสไกท์แบบคิวบิก (cubic perovskite structure) ซึ่งมีสมบัติเป็นพาราอิเล็กทริกและเมื่ออุณหภูมิต่ำกว่าอุณหภูมิคิวบิก โครงสร้างจะเปลี่ยนเป็นเตตระ โภนอลหรือรอม โบชีครอตซึ่งมีสมบัติเป็นเฟอร์โรอิเล็กทริกโดยขึ้นอยู่ กับอัตราส่วนขององค์ประกอบ สมบัติทางด้าน ไดอิเล็กทริกและพิโซอิเล็กทริกของ PZT จะมีสมบัติ ที่โดดเด่นมาก ณ บริเวณรอยต่อเฟส (morphotropic phase boundary , MPB ) โดยมีอัตราส่วน ระหว่าง Zr:Ti เท่ากับ 52:48 ดังแสดงในรูป 2.8



รูป 2.8 แผนผังเฟสของเซรามิกระบบ  $PbZrO_3$ - $PbTiO_3$ [9]

เนื่องจากบริเวณนี้มีเฟสผ่านกันระหว่างเตตระ โภนอล กับรอม โบชีครอต ณ อุณหภูมิห้อง ซึ่งบริเวณรอยต่อเฟสนี้สามารถทำขึ้น (poling) ได้ง่าย เนื่องจากการที่ทิศทางของสกานพัข์ในแต่ละ เกรนสามารถเกิดการโพลาไรซ์ได้มากถึง 14 ทิศทาง คือ ในเฟสที่เป็นรอม โบชีครอต 8 ทิศทาง คือ  $[111]$ ,  $[\bar{1}\bar{1}1]$ ,  $[1\bar{1}\bar{1}]$ ,  $[11\bar{1}\bar{1}]$ ,  $[\bar{1}\bar{1}\bar{1}\bar{1}]$ ,  $[\bar{1}\bar{1}\bar{1}\bar{1}]$  และ  $[\bar{1}\bar{1}\bar{1}\bar{1}]$  และ เฟสที่เป็น เตตระ โภนอลอีก 6 ทิศทาง คือ  $[100]$ ,  $[\bar{1}00]$ ,  $[010]$ ,  $[0\bar{1}0]$ ,  $[001]$  และ  $[00\bar{1}]$

เดคแมกนีเชียม ใน ไอโอเบต ( $Pb(Mg_{1/3}Nb_{2/3})O_3$  หรือ PMN เป็นวัสดุเฟอร์โรอิเล็กทริกที่จัดอยู่ ในกลุ่มที่เรียกว่า รีแลกเซอร์เฟอร์โรอิเล็กทริก (relaxor ferroelectric) กล่าวคือเป็นวัสดุที่มีสมบัติไดอ-

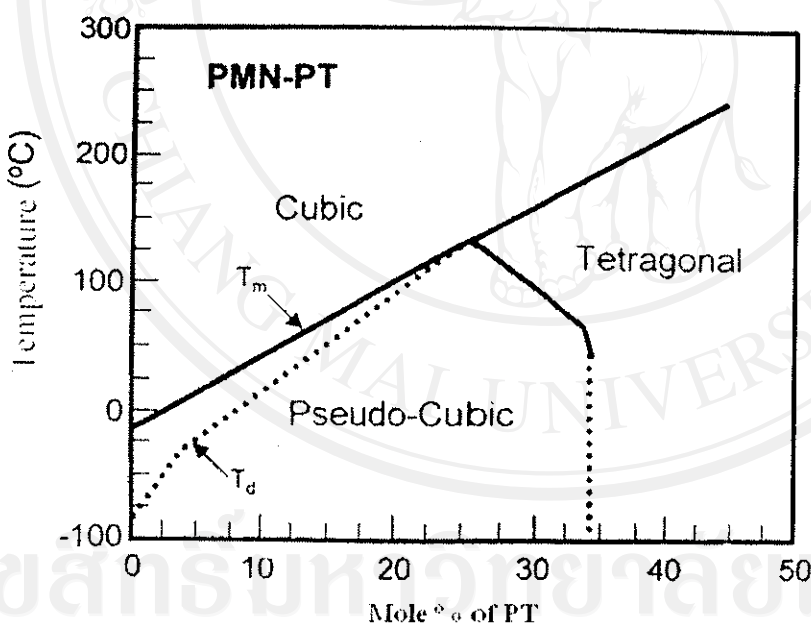
เดลิกทริกขึ้นอยู่กับความถี่เป็นอย่างมาก ซึ่งสมบัติของรีแลคเซอร์เฟร์โรอิเดลิกทริกจะแตกต่างจากวัสดุเฟร์โรอิเดลิกทริกแบบปกติ (normal ferroelectrics) ดังสรุปได้ในตารางที่ 2.1

ตารางที่ 2.1 ข้อแตกต่างระหว่างเฟร์โรอิเดลิกทริกแบบปกติและแบบรีแลคเซอร์[4]

สมบัติ	เฟร์โรอิเดลิกทริกแบบปกติ	เฟร์โรอิเดลิกทริกแบบรีแลคเซอร์
ผลของอุณหภูมิต่อสมบัติ ไดอิเดลิกทริก	การเปลี่ยนเฟสที่รวดเร็ว (แบบ 1 <sup>st</sup> -order หรือ 2 <sup>nd</sup> - order ที่จุดครูรี $T_c$ )	การเปลี่ยนเฟสแบบช้าๆที่ อุณหภูมิ $T_{max}$
ผลของความถี่ต่อสมบัติ ไดอิเดลิกทริก	ไม่ค่อยมีผล	มีผลอย่างชัดเจน
สมบัติไดอิเดลิกในช่วง พาราอิเดลิก ( $T > T_c$ )	เป็นไปตามกฎครูรี-ไวซ์ (Curie-Weiss law)	เป็นไปตามกฎครูรี-ไวซ์กำลังสอง (Curie-Weiss square law)
การมีข้าไฟฟ้าคงค้าง ( $P_r$ )	ค่า $P_r$ สูง	ค่า $P_r$ ต่ำ
การกระเจิงแสง	ขึ้นกับทิศทางอย่างมาก	ไม่ค่อยขึ้นกับทิศทาง
การเดี้ยวแบบของรังสีเอกซ์	เกิดการแยกเส้นเนื่องจากการ เปลี่ยนรูปร่างเมื่อเปลี่ยนเฟส จากพาราอิเดลิกเป็นเฟร์ โรอิเดลิกทริก	ไม่เกิดการแยกเส้น

เดดแมกนีเซียม ในไอโอเบต ( $Pb(Mg_{1/3}Nb_{2/3})O_3$  หรือ PMN เป็นวัสดุที่มีค่าคงที่ไดอิเดลิกทริก ( $\epsilon_r$ ) ที่สูงมากและสามารถเพิ่ม  $T_c$  ได้โดยการเติม Ti ในตำแหน่ง B แต่ความยุ่งยากในการผลิตวัสดุ ที่มี Pb และ Nb เป็นองค์ประกอบจะอยู่ที่การเกิดขึ้นของโครงสร้างชนิดไฟโรคลอร์ (pyrochlore) ซึ่งจะทำให้สารเซรามิกที่เตรียมได้มีค่าคงที่ไดอิเดลิกต่ำ ในกรณีของ PMN นั้นไฟโรคลอร์ที่พบ จะมีส่วนประกอบเป็น  $Pb_{1.83}Nb_{1.71}Mg_{0.29}O_{6.39}$  ซึ่งที่อุณหภูมิห้องเป็นวัสดุพาราอิเดลิกทริกที่มี  $\epsilon_r$  ประมาณ 130[4] ดังนั้นในการเตรียมสารเซรามิกเดดแมกนีเซียมในไอโอเบตจึงนิยมเตรียมด้วยวิธี โคลัมไบต์ (columbite method) ซึ่งเป็นวิธีเตรียมผงแบบสองขั้นตอน โดยเริ่มจากการเผาเตรียม (prereaction) ผงแมกนีเซียมออกไซด์ ( $MgO$ ) และผงในไอโอเบตจึงนิยมออกไซด์ ( $Nb_2O_5$ ) ให้อยู่ในรูปของ ผงโคลัมไบต์ที่มีสูตรเป็น  $MgNb_2O_6$  เมื่อได้ผงโคลัมไบต์แล้วจึงนำผงที่ได้มาทำการเผาแคลด์ไชด์อีก ครั้งร่วมกับตะกั่ว ( $PbO$ ) เพื่อให้เกิดปฏิกิริยารวมตัวกันเป็นผง PMN ที่มีสูตรเป็น  $Pb(Mg_{1/3}Nb_{2/3})O_3$  ทั้งนี้เมื่อนำสาร PMN ไปศึกษาถึงสมบัติไดอิเดลิกพบว่า อุณหภูมิครูรีของสาร PMN มีค่าต่ำ

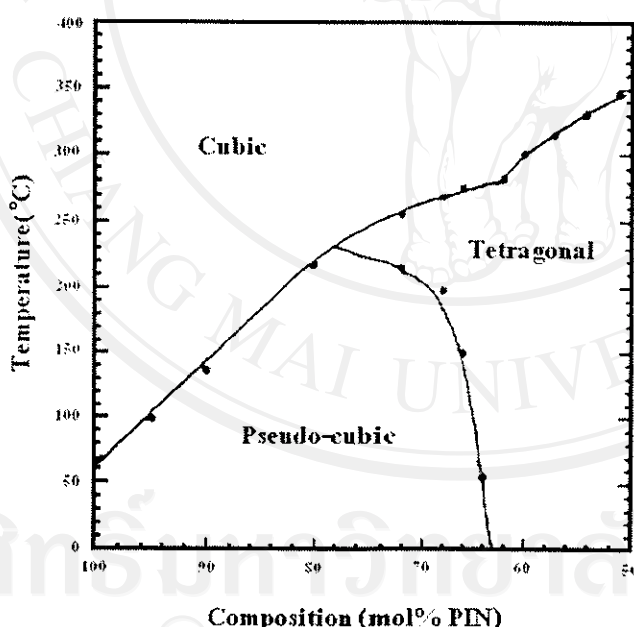
ประมาณ -10 องศาเซลเซียส ซึ่งเป็นค่าที่ต่ำมาก ดังนั้นจึงมักจะนิยมผสมสาร PMN รวมเข้ากับสารเฟอร์โรอิเล็กทริกอื่น เพื่อที่จะเพิ่มอุณหภูมิคริวให้มีค่าสูงขึ้น โดยระบบที่ได้รับความสนใจมากที่สุดคือระบบสารละลายของแข็งของ  $Pb(Mg_{1/3}Nb_{2/3})O_3$ - $PbTiO_3$  หรือ (PMN-PT) ซึ่งแผนผังเฟสของระบบนี้แสดงในรูปที่ 2.9 การเพิ่ม PT ซึ่งมีอุณหภูมิคริวที่สูงถึง 495 องศาเซลเซียสเข้าไปในระบบมากขึ้น จะทำให้  $T_c$  มีค่าสูงขึ้น และสมบัติทางไฟฟ้าของระบบดังกล่าวจะมีการเปลี่ยนแปลงจากพกติกรรมแบบรีแลกเซอร์ไปเป็นแบบพิโซอิเล็กทริกแบบอ่อน (soft piezoelectric) โดยที่ส่วนผสมที่ต้านทาน MPB ( $0.65\text{PMN}-0.35\text{PT}$ ) นั้นจะมีสมบัติพิโซอิเล็กทริกซึ่งถูกนำมาใช้ประโยชน์ในทرانส์ดิวเซอร์พิโซอิเล็กทริก (piezoelectric transducers) ส่วนผสมที่ได้รับความสนใจมากที่สุดสำหรับระบบนี้คือ  $0.9\text{PMN}-0.1\text{PT}$  ซึ่งมีอุณหภูมิคริวใกล้อุณหภูมิห้องทำให้มีค่าคงที่ไดอิเล็กทริก ( $\epsilon_r$ ) สูงมาก และยังสามารถให้ความเครียดอิเล็กโทรสตริกติฟ (electrostrictive strain) ถึง 0.1% ทำให้ถูกนำไปใช้ในตัวเก็บประจุแบบหลายชั้น (multilayer capacitors) และ แยกหัวเอเทอเรีย (actuators)[14]



รูป 2.9 แผนผังเฟสของสารละลายของแข็ง PMN-PT[14]

เดดอินเดียนในโอบีท (PIN) เป็นสารเฟอร์โรอิเล็กทริกชนิดหนึ่งที่น่าสนใจมาก เนื่องจากสามารถเปลี่ยนสถานะจากเฟสที่มีสภาพเป็นรีแลกเซอร์ ซึ่งมีโครงสร้างเป็นซูโคคิวบิก (pseudo-cubic) ให้กลายเป็นเฟสที่มีสภาพเป็นแอนติเฟอร์โรอิเล็กทริก ซึ่งมีโครงสร้างเป็นอโหรอมบิก (orthorhombic) ได้ด้วยการอบอ่อน (anneal)[6,7] ซึ่งในขณะที่เดดอินเดียนในโอบีทอยู่ในสถานะที่เป็นรีแลกเซอร์นั้น เมื่อนำมาทำการวัดสมบัติไดอิเล็กทริกพบว่าที่ความถี่ 1 kHz มีค่าอุณหภูมิคริวที่ต่ำ

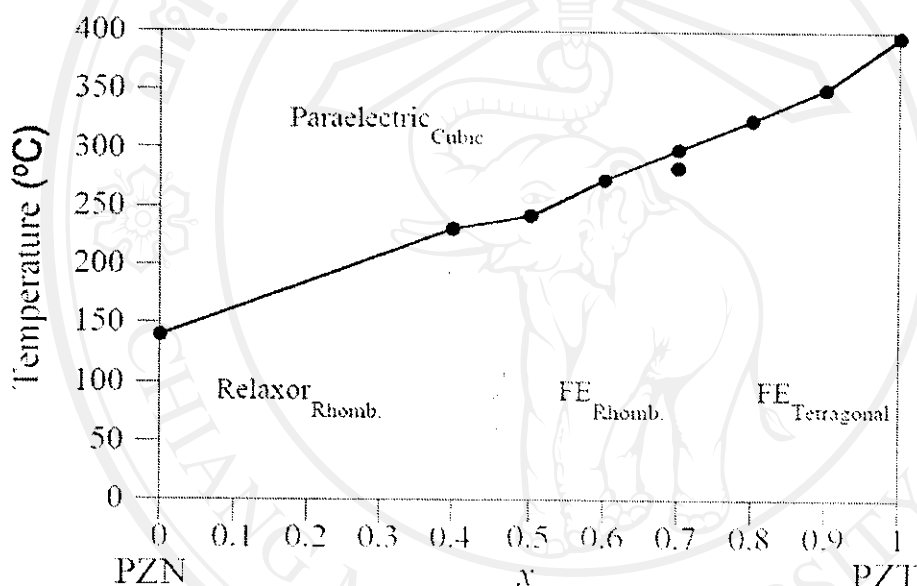
ประมาณ 66 องศาเซลเซียส)[6,7] โดยที่เมื่ออยู่ในสถานะที่เป็นแอนติเฟร์โรอิเล็กทริกจะมีค่า อุณหภูมิคริอซูที่ประมาณ 168 องศาเซลเซียส ในการสังเคราะห์เซรามิกเดอินเดียมในโอเบตให้ บริสุทธิ์มากทำได้ยากเนื่องจากมีองค์ประกอบของ Pb และ Nb ซึ่งมักจะเกิดโครงสร้างชนิดไฟโร คลอร์ (pyrochlore) ขึ้น ซึ่งจะทำให้สารเซรามิกที่เตรียมได้มีสมบัติโดยอิเล็กทริกที่ไม่ดีนัก ดังนั้นจึง ในการเตรียมสารเซรามิกเดอินเดียมในโอเบต จึงนิยมเตรียมด้วยวิธีวูลframite (wolframite method) ซึ่งเป็นวิธีเตรียมผงแบบสองขั้นตอน โดยเริ่มจากการเผาเตรียม (prereaction) ผงอินเดียม ออกไซด์ ( $In_2O_3$ ) และผงในโอเบตมอกไชด์ ( $Nb_2O_5$ ) ให้อยู่ในรูปของ  $InNbO_4$  เมื่อได้ผง  $InNbO_4$  แล้วจึงนำผงที่ได้มาทำการเผาเคลดไชด์อีกครั้งร่วมกับตะกั่ว (PbO) เพื่อให้เกิดปฏิกิริยารวมตัวกัน เป็นผง PIN ที่มีสูตรเป็น  $Pb(In_{1/2}Nb_{1/2})O_3$  นอกจากนี้แล้วมักจะผสมสาร PIN รวมเข้ากับสารเฟร์โรอิ เล็กทริกอื่น เพื่อที่จะลดปริมาณของไฟโรคลอร์และเพิ่มอุณหภูมิคริอให้มีค่าสูงขึ้นซึ่งจะทำให้ อุณหภูมิของการใช้งานสูงขึ้นด้วย โดยระบบที่ได้รับความสนใจคือ ระบบสารละลายนองแข็งของ  $Pb(In_{1/3}Nb_{2/3})O_3-PbTiO_3$  หรือ (PIN-PT) ซึ่งแผนผังเฟสของระบบนี้แสดงในรูปที่ 2.10



รูป 2.10 แผนผังเฟสของสารละลายนองแข็ง PIN-PT[26]

เดดซิงค์ในโอเบต (PZN) เป็นสารเฟร์โรอิเล็กทริกที่แสดงความเป็นรีแลกเซอร์อีกชนิดหนึ่ง ที่น่าสนใจ เนื่องจากผลึกเดี่ยวเดดซิงค์ในโอเบตมีค่าໄอดิอิเล็กทริกและค่าพิโซอิเล็กทริกสูงมาก ซึ่งสูง มากกว่าสารเฟร์โรอิเล็กทริกที่สำคัญหลายชนิด เช่น เดดเซอร์โคเนต ไททาเนต เป็นต้น จึงมักนิยม นำไปประยุกต์ใช้ในทรานสดิวเซอร์และตัวขับเร้า เดดซิงค์ในโอเบตมีลักษณะโครงสร้างเป็นร่อง

โนบีดรอลและเมื่อวัดสมบัติได้อิเล็กทริกแล้วพบว่ามีอุณหภูมิคริอญี่ที่ประมาณ 140 องศาเซลเซียส แต่อย่างไรก็ตามในการเตรียมเด็ดซิงค์ในโอบนมักจะมีเฟสไฟโรคลอร์ (pyrochlore) เกิดขึ้นเสมอ ซึ่งจะทำให้สมบัติทางไฟฟ้าของเด็ดซิงค์ในโอบนมีค่าน้อยลง[8] ดังนี้ในการเตรียมสารเซรา มิกเด็ดซิงค์ในโอบจะมีการเตรียมด้วยวิธีโคลัมไบต์ (columbite method) ซึ่งเป็นวิธีเตรียมผงแบบสองขั้นตอนเพื่อลดปริมาณของเฟสไฟโรคลอร์ และเพิ่มปริมาณของเฟสเพอรอพสไกต์ให้มากขึ้น นอกจากนี้แล้วการผสมสารเฟร์โรอิเล็กทริกชนิดอื่นรวมเข้ากับสาร PZN เช่น PZT ก็เป็นวิธีที่นิยมในการลดปริมาณของไฟโรคลอร์ ซึ่งแผนผังเฟสของระบบ PZT-PZN แสดงในรูปที่ 2.11



รูป 2.11 แผนผังเฟสของสารละลายนองแข็ง PZT-PZN[27]

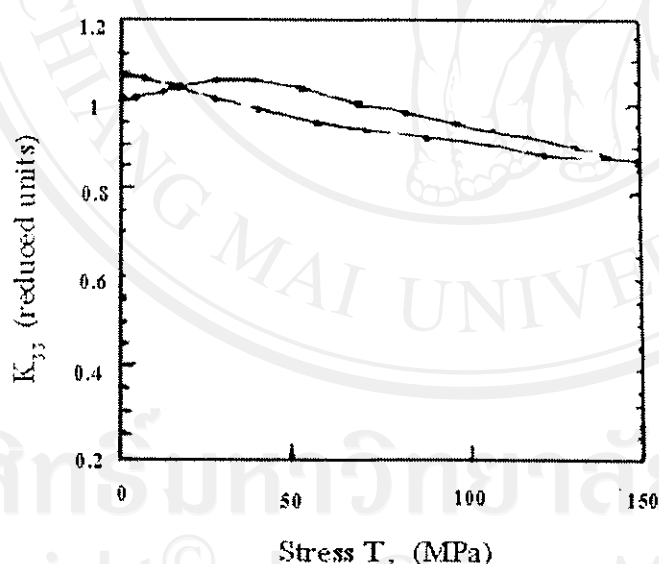
## 2.4 สมบัติได้อิเล็กทริกภายใต้ความเด่นแบบแกนเดี่ยว

สารเซรามิกเฟร์โรอิเล็กทริก จะมีการเปลี่ยนแปลงของสมบัติได้อิเล็กทริกภายใต้สภาวะที่มีความเด่น เนื่องจากการที่พลังงานเชิงกลเข้าไปเปลี่ยนแปลงพลังงานของโพลาเรชัน ทำให้เกิดกระบวนการจัดเรียงตัวใหม่ของโดเมน (domain-reorientation process) ซึ่งในกระบวนการจัดเรียงตัวใหม่ของโดเมนจะคุณเห็นว่ามีการเคลื่อนที่ของผนังโดเมน[15] โดยค่าคงที่ได้อิเล็กทริกจะมีค่าเพิ่มขึ้นหรือลดลงแตกต่างกันภายใต้ความเด่นที่ต่างกัน ขึ้นอยู่กับชนิดของสารเซรามิก องค์ประกอบของสารเซรามิก และการผ่านการทำข้าว

การศึกษาถึงผลของความเด่นแบบแกนเดี่ยวต่อสมบัติได้อิเล็กทริกในวัสดุที่เกี่ยวข้องกับ การเคลื่อนที่ของโดเมน จะสามารถช่วยให้เข้าใจโครงสร้างของโดเมน และกลไกที่เกิดขึ้นภายใต้

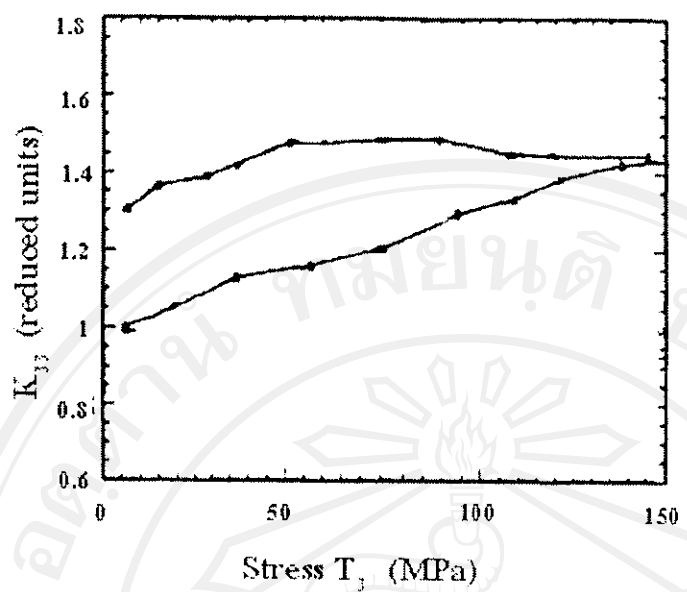
โอดเมนได้ดีขึ้น[16] สำหรับข้อมูลของการศึกษาถึงอิทธิพลของความเค้นต่อสมบัติทางไฟฟ้าของเซรามิกชนิดต่างๆ สามารถสรุปสาระสำคัญได้ดังนี้

ในปี ก.ศ. 1996 Zhao และคณะ[16] ได้ศึกษาถึงอิทธิพลของความเค้นเชิงกลต่อสมบัติไฟฟ้าเชิงกลของเซรามิก PZT และเซรามิก 0.9PMN-0.1PT จากผลการทดลองพบว่า ใน PZT-5H (soft PZT) (รูป 2.12) จะมีค่าคงที่ไดอิเล็กทริกเพิ่มขึ้นเล็กน้อยในช่วงความเค้น 0-40 MPa แต่หลังจากนั้นค่าคงที่ไดอิเล็กทริกจะลดลงเมื่อความเค้นมีค่าเพิ่มขึ้นจาก 40 ถึง 150 MPa สำหรับเซรามิก PZT-8 (hard PZT) (รูป 2.13) จะมีค่าคงที่ไดอิเล็กทริกเพิ่มขึ้นเมื่อความเค้นมีค่าเพิ่มขึ้นในช่วง 0-150 MPa ซึ่งการเปลี่ยนแปลงของค่าคงที่ไดอิเล็กทริกเป็นผลมาจากการเปลี่ยนแปลงการขัดรีบียงตัวของโอดเมน (domain) เมื่อไดรับความเค้นจากภายนอก ซึ่งใน soft PZT จะมีการเปลี่ยนแปลงของโอดเมนได้ง่ายกว่าใน hard PZT จึงทำให้ค่าคงที่ไดอิเล็กทริกของ soft PZT มีค่าลดลงเมื่อความเค้นเพิ่มขึ้น สำหรับการทดลองในเซรามิก 0.9PMN-0.1PT จะมีการให้ส่วนไฟฟ้าจากภายนอกด้วย (1 kV/cm และ 3 kV/cm) (รูป 2.14) ซึ่งพบว่าค่าคงที่ไดอิเล็กทริกมีค่าลดลงเมื่อความเค้นเพิ่มขึ้น (0-150 MPa) ทั้งสองสภาวะของการให้ส่วนไฟฟ้าจากภายนอก

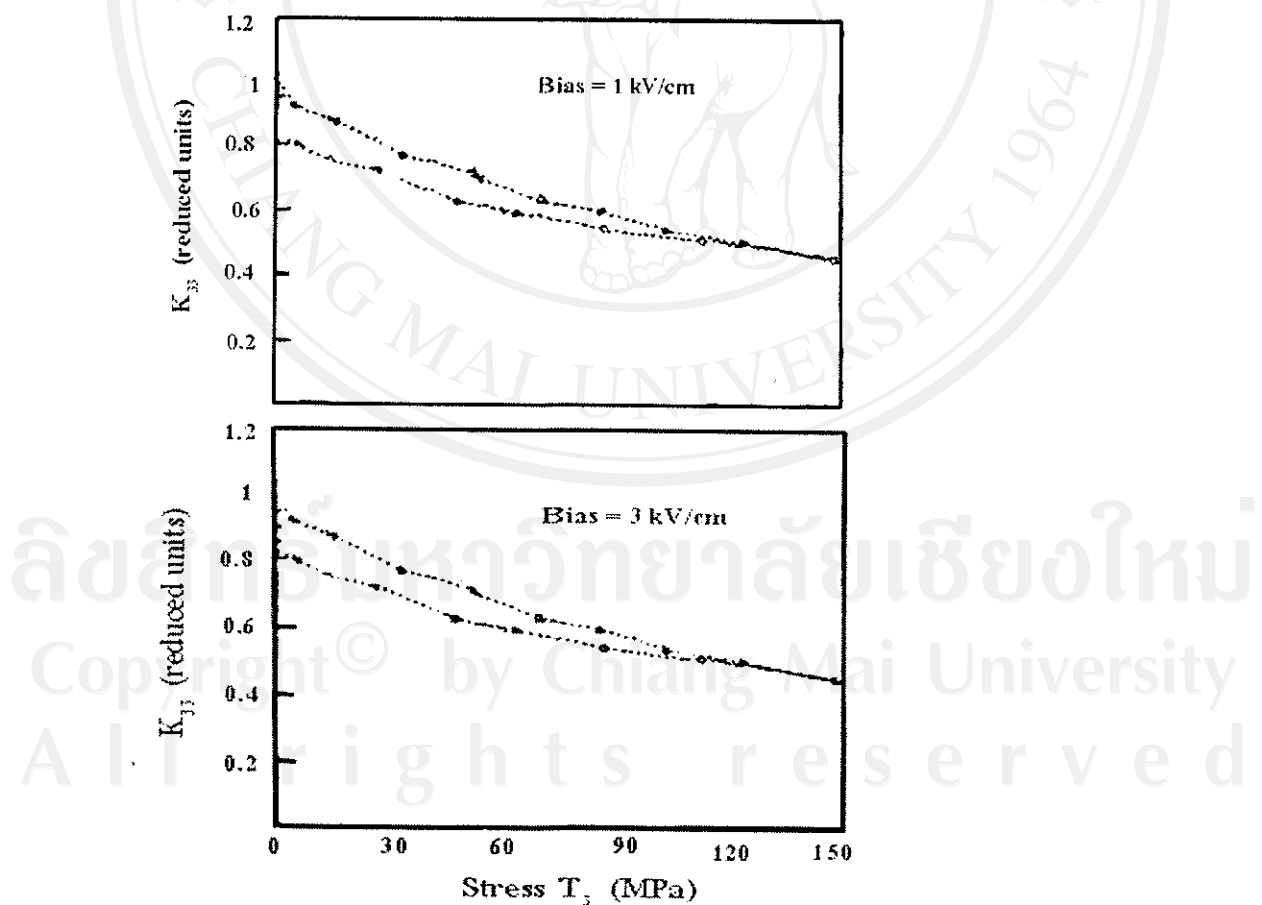


รูป 2.12 กราฟแสดงการเปลี่ยนแปลงของค่าคงที่ไดอิเล็กทริก (dielectric constant,  $K_{33}$ ) ที่เป็นผล

มาจากความเค้นเชิงกลภายนอกสำหรับไฟฟ้าของเซรามิก PZT-5H[16]

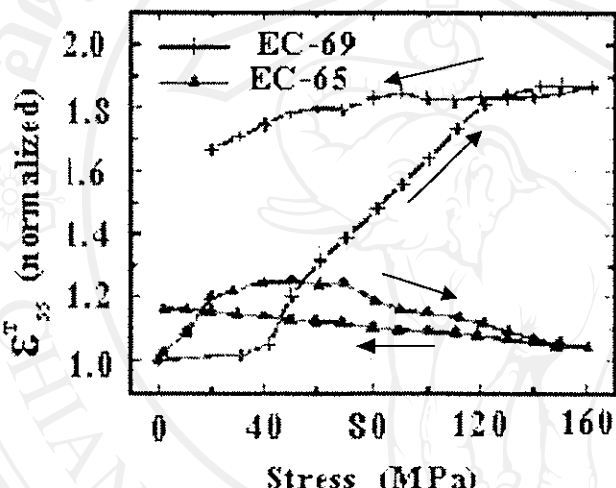


รูป 2.13 กราฟแสดงการเปลี่ยนแปลงของค่าคงที่ไดอิเล็กทริก (dielectric constant,  $K_{33}$ ) ที่เป็นผลมาจากการเดินเชิงกลภายใต้สนามไฟฟ้าของเซรามิก PZT-8[16]



รูป 2.14 กราฟแสดงการเปลี่ยนแปลงของค่าคงที่ไดอิเล็กทริก (dielectric constant,  $K_{33}$ ) ที่เป็นผลมาจากการเดินเชิงกลภายใต้สนามไฟฟ้าของเซรามิก 0.9PMN-0.1PT[16]

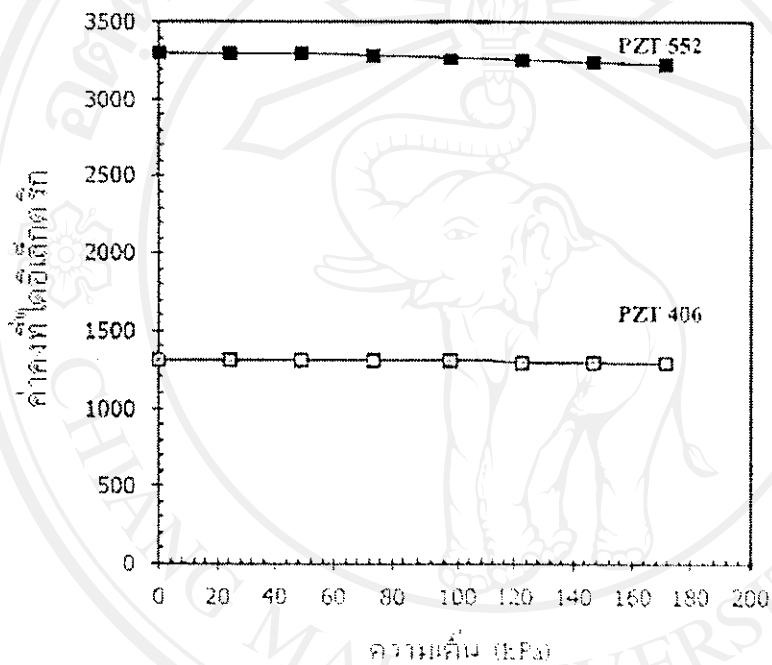
ต่อมาในปี ค.ศ. 2000 Yang และคณะ[17] ได้ศึกษาถึงผลของความเค้นแบบแกนเดี่ยวต่อสมบัติไฟอิเล็กทริก สมบัติไดอิเล็กทริก และสมบัติเชิงกลของเซรามิก EC-69 (hard PZT) และ EC-65 (soft PZT) ซึ่งแสดงผลการทดลองดังรูป 2.15 จากผลการทดลองพบว่าใน EC-69 (hard PZT) จะมีค่าคงที่ไดอิเล็กทริกเพิ่มขึ้นมากเมื่อความเค้นเพิ่มขึ้นในช่วง 0-160 MPa) ส่วนใน EC-65 (soft PZT) จะมีค่าคงที่ไดอิเล็กทริกเพิ่มขึ้นเพียงเล็กน้อยตามความเค้นที่เพิ่มขึ้น (0-160 MPa) เนื่องจาก การเคลื่อนที่ของโคล เมน การทำให้หنمดสภาพความเป็นข้าว และการเปลี่ยนทิศทางของโพลาไรซ์ เช่น ใน hard PZT มีการเปลี่ยนแปลงได้ยากกว่าใน soft PZT



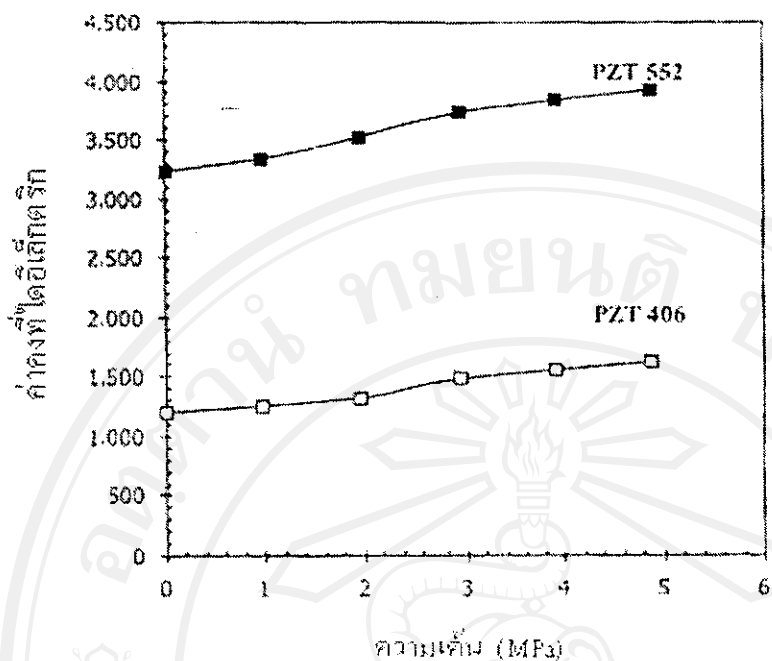
รูป 2.15 กราฟแสดงการเปลี่ยนแปลงสมบัติไดอิเล็กทริกภายใต้ความเค้นแบบแกนเดี่ยวของเซรามิก PZT[17]

ตัดมาในปี ค.ศ. 2003 สุพัตรา วงศ์เสนานิมุน[18] ได้ทำการศึกษาถึงอิทธิพลของความเค้นแบบแกนเดี่ยวต่อสมบัติไดอิเล็กทริกของเซรามิก PZT 552 (soft PZT) PZT 406 (hard PZT) และ PMN-PZT ภายใต้สภาวะความเค้นต่ำและสูง ซึ่งได้ผลการทดลองดังแสดงในรูปที่ 2.16-2.21 โดยจากผลการทดลองพบว่าค่าคงที่ไดอิเล็กทริกของ soft PZT มีการเปลี่ยนแปลงตามความเค้นมากกว่า hard PZT ทั้งในสภาวะความเค้นต่ำ (0-170 kPa) และสูง (0-5 MPa) เนื่องจากใน hard PZT จะมีโครงสร้างของโคล เมนที่แตกต่างกว่าใน soft PZT สำหรับเซรามิก PMN-PZT ที่ถูกทำข้าวแล้ว เมื่อทำการทดลองในสภาวะความเค้นต่ำ (0-700 kPa) พบร่วมกับการเปลี่ยนแปลงที่ไม่แน่นอน ขึ้นอยู่กับอัตราส่วนโดยโมลของ PZT แต่มือทดลองในสภาวะความเค้นสูง (0-5 MPa) เซรามิกที่มี PMN เป็นองค์ประกอบหลัก ซึ่งได้แก่ 0.9PMN-0.1PT และ 0.7PMN-0.3PT พบร่วมกับการเปลี่ยนแปลงที่ไม่แน่นอน ขึ้นอยู่กับอัตราส่วนโดยโมลของ PZT แต่มือทดลองในสภาวะความเค้นสูง (0-5 MPa) เซรามิกที่มี

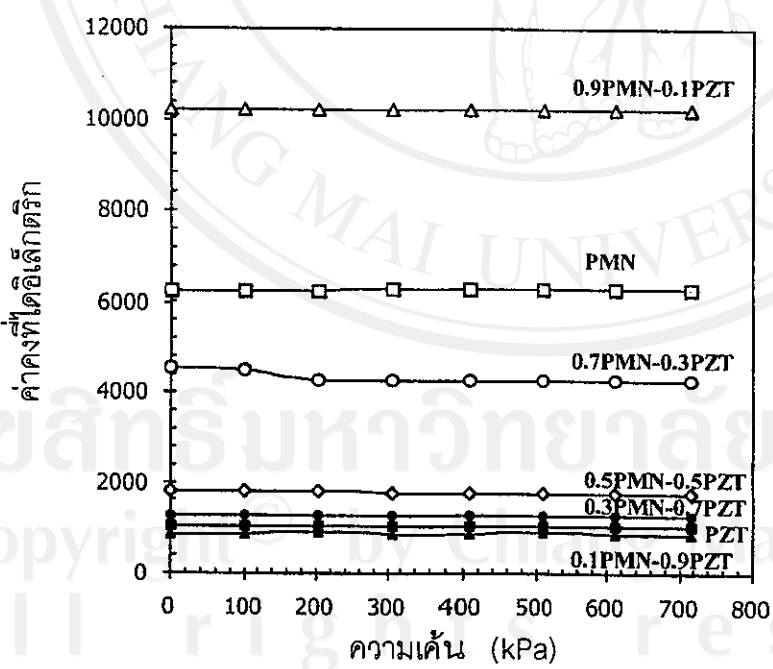
0.9PZT, 0.3PMN-0.7PZT และ 0.5PMN-0.5PZT) ค่าคงที่ไดอิเล็กทริกจะมีค่าสูงขึ้นเมื่อความเค้นสูงขึ้น ส่วนในเซรามิก PMN-PZT ที่ยังไม่ผ่านการทำขั้วนั้น ค่าคงที่ไดอิเล็กทริกจะมีค่าเพิ่มขึ้นในช่วงความเค้นต่ำ และจะคงที่เมื่อความเค้นสูงขึ้น โดยที่ไม่เข็นกับองค์ประกอบของสารเซรามิกซึ่งแตกต่างจากเซรามิก PMN-PZT ที่ผ่านการทำขั้วแล้ว เนื่องจากภายในตัวมีความเค้นแบบแกนเดี่ยว โครงสร้างของโดเมนจะต้องผ่านการเปลี่ยนทิศทางของโดเมน การจับกันของผนังโดเมน การลดการเสื่อมสภาพ และการทำให้หมดสภาพความเป็นขั้ว



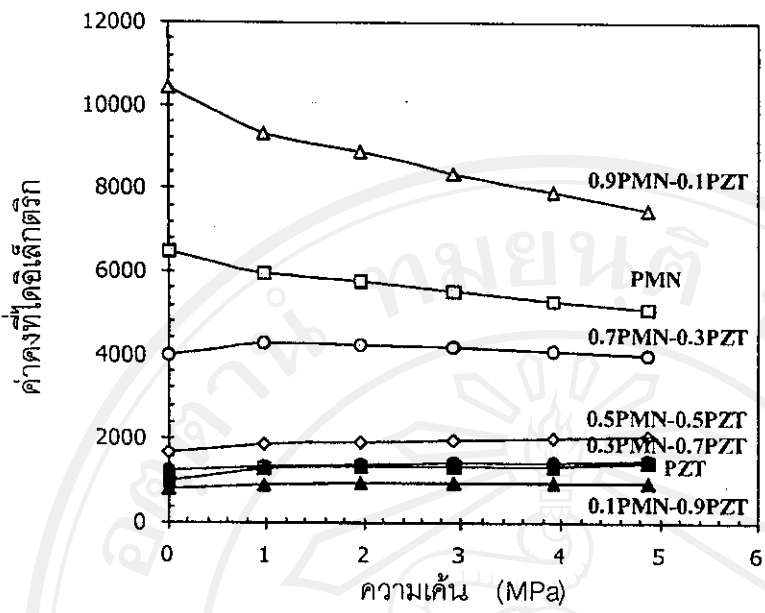
รูป 2.16 กราฟแสดงความสัมพันธ์ระหว่างค่าคงที่ไดอิเล็กทริกกับความเค้นของเซรามิก PZT406 และ PZT552 ภายใต้สภาพความเค้นต่ำ[18]



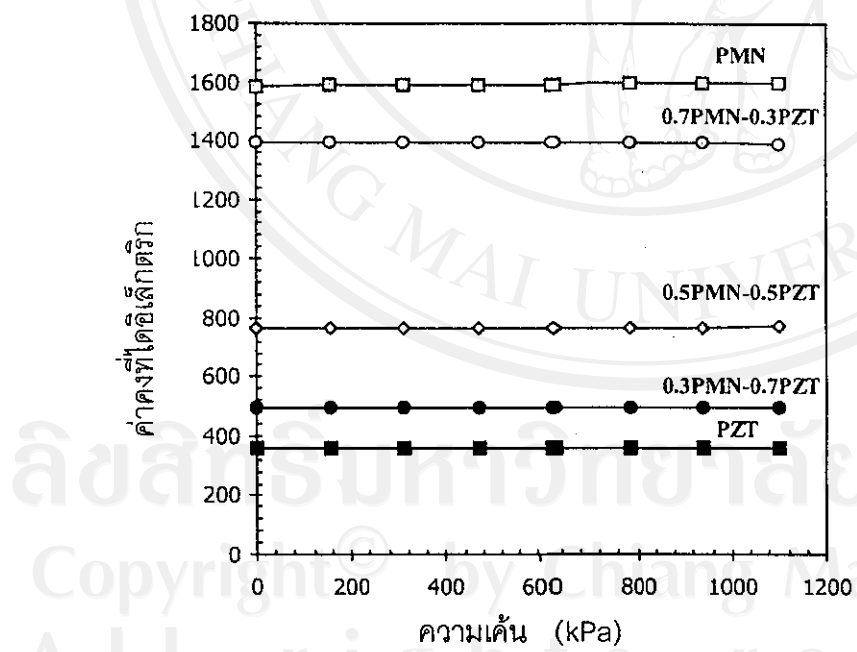
รูป 2.17 กราฟแสดงความสัมพันธ์ระหว่างค่าคงที่ไดอิเล็กทริกกับความเค้นของเซรามิก PZT406 และ PZT552 ภายใต้สภาวะความเค้นสูง[18]



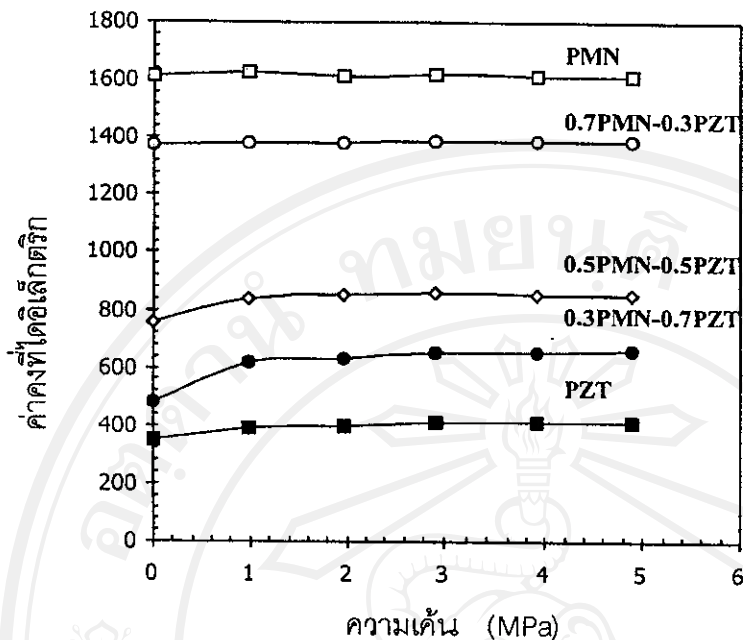
รูป 2.18 กราฟแสดงความสัมพันธ์ระหว่างค่าคงที่ไดอิเล็กทริกกับความเค้นของเซรามิก PMN-PZT ที่ถูกทำขึ้นแล้ว ภายใต้สภาวะความเค้นต่ำ[18]



รูป 2.19 กราฟแสดงความสัมพันธ์ระหว่างค่าคงที่ไดอิเล็กทริกกับความดันของเซรามิก PMN-PZT ที่ถูกทำขึ้นแล้ว ภายใต้สภาพความดันสูง[18]

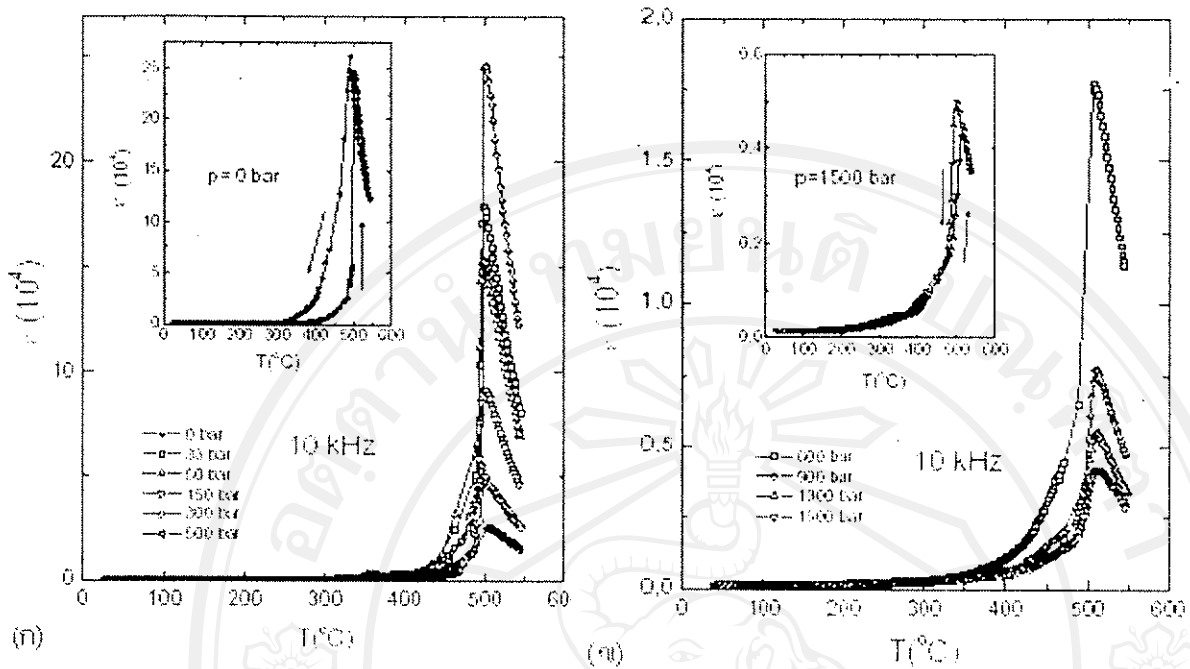


รูป 2.20 กราฟแสดงความสัมพันธ์ระหว่างค่าคงที่ไดอิเล็กทริกกับความดันของเซรามิก PMN-PZT ที่ไม่ถูกทำขึ้น ภายใต้สภาพความดันต่ำ[18]



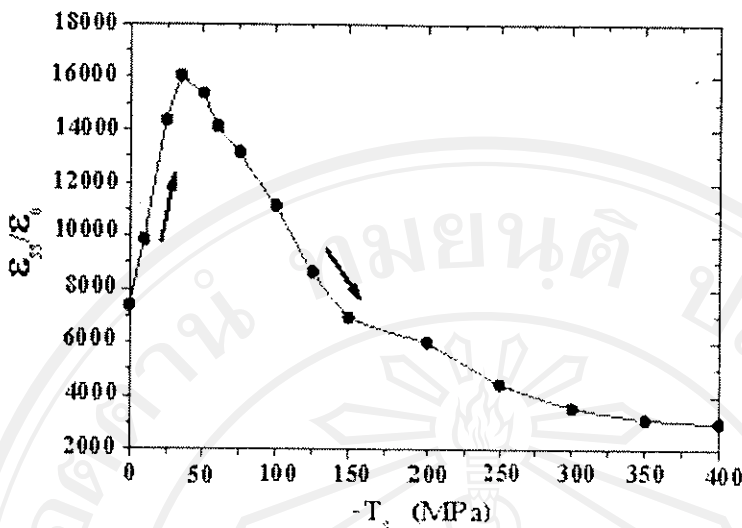
รูป 2.21 กราฟแสดงความสัมพันธ์ระหว่างค่าคงที่ไดอิเล็กทริกกับความเค้นของเซรามิก PMN-PZT ที่ไม่ถูกทำขึ้นภายใต้สภาวะความเค้นสูง[18]

ในปี ค.ศ. 2003 เน่นเดียวกัน Suchanicz และคณะ[19] ได้ทำการศึกษาถึงผลของความเค้นแบบแกนเดี่ยวต่อสมบัติไดอิเล็กทริกของผลึกเดี่ยว  $\text{PbTiO}_3$  ซึ่งแสดงผลการทดลองดังรูป 2.22 โดยพบว่าความเค้นที่ให้เข้าไปจะเพิ่มอุณหภูมิในการเปลี่ยนเฟสจากคิวบิกเป็นเททระ โgnol และค่าคงที่ไดอิเล็กทริกจะมีค่าลดลงเมื่อความเค้นมีค่าเพิ่มขึ้น



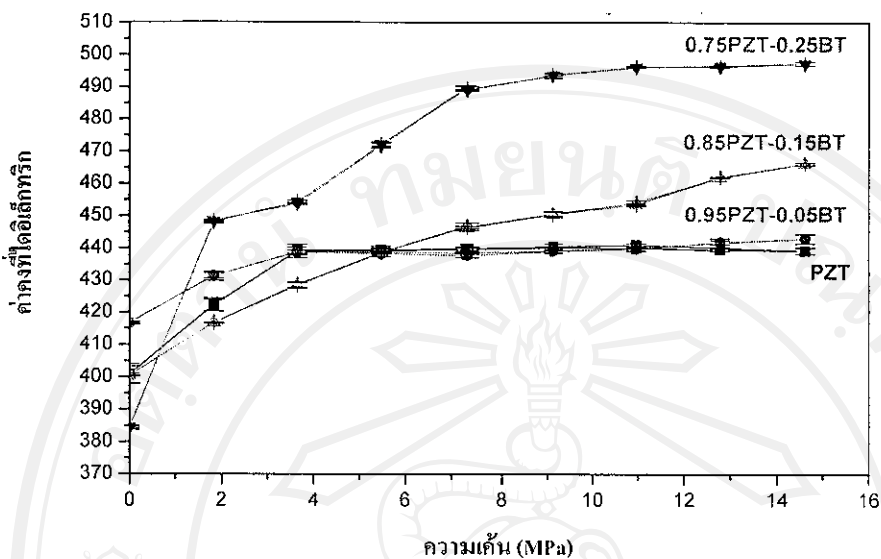
รูป 2.22 กราฟแสดงความสัมพันธ์ระหว่างค่าคงที่ไดอิเล็กทริกของผลึกเดี่ยว  $\text{PbTiO}_3$  กับอุณหภูมิที่ความดันต่างๆ กัน (g) ที่ความดัน 0-500 bar (h) ที่ความดัน 600-1500 bar[19]

ต่อมาในปี ค.ศ. 2004 Zhou และคณะ[20] ได้ทำการศึกษาถึงอิทธิพลของความเค้นแบบแกนเดี่ยวต่อสมบัติเชิงทรรศน์ของ soft PZT ซึ่งแสดงผลการทดลองดังรูป 2.23 โดยจากการทดลองพบว่าค่าคงที่ไดอิเล็กทริกสัมพันธ์จะมีค่าอยู่ที่ประมาณ 7400 เมื่อความเค็นมีค่าเป็นศูนย์ และจะมีค่าเพิ่มขึ้นเมื่อความเค้นเพิ่มขึ้น แต่หลังจากที่ค่าคงที่ไดอิเล็กทริกสัมพันธ์มีค่าสูงสุด 16000 ที่ความเค็นเท่ากับ  $-35 \text{ MPa}$  ก็จะมีค่าลดลงเมื่อความเค็นเพิ่มขึ้น ที่ความเค็นเท่ากับ  $-400 \text{ MPa}$  โดยเมนทั้งหมดจะมีการจัดเรียงตัวตั้งจากกับสนามที่ให้เข้าไป ซึ่งจากการทดลองสามารถกล่าวได้ว่าความเค็นจะมีผลต่อสมบัติไดอิเล็กทริกของสารเฟอร์โรอิเล็กทริก

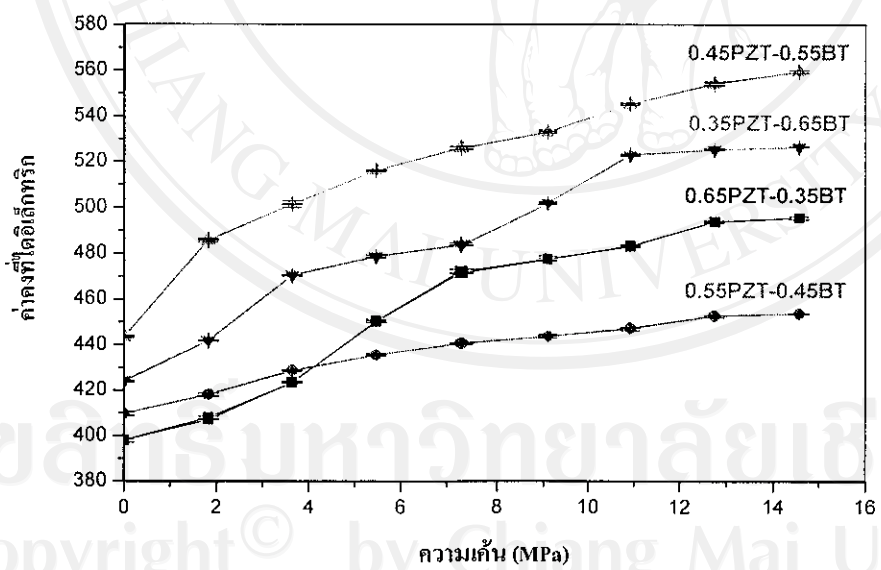


รูป 2.23 กราฟแสดงการเปลี่ยนแปลงของค่าคงที่ไดอิเล็กทริกสัมพัทธ์ (วัดจากความชันของ P-E curves กับสนามไฟฟ้า) เมื่อความเค้นมีค่าเพิ่มขึ้น[20]

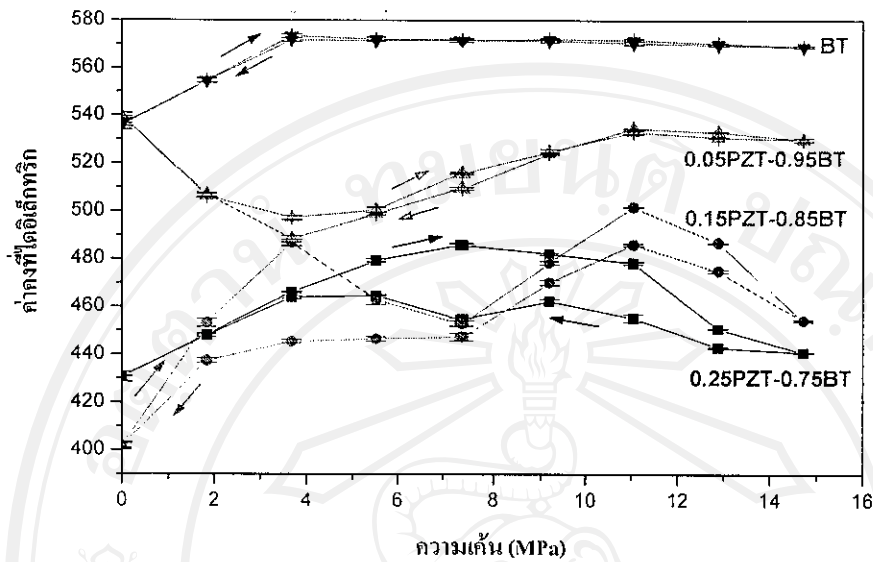
ต่อมาในปี ค.ศ. 2005 สวินทร์ ฉมังลาก [21] ได้ทำการศึกษาถึงอิทธิพลของความเค้นแบบแกนเดี่ยวต่อสมบัติไดอิเล็กทริกของเซรามิกเดดเซอร์โคเนตไทยเทเนต-แบร์เรียมไทยเทเนต โดยผลกระทบทดลองพบว่าค่าคงที่ไดอิเล็กทริกของเซรามิกในระบบ  $(1-x)\text{PZT}-x\text{BT}$  ที่ยังไม่ได้ผ่านการทำข้าว พบร่วมกับการเปลี่ยนแปลงของค่าคงที่ไดอิเล็กทริกเพิ่มขึ้นเมื่อความเค้นเพิ่มขึ้น ยกเว้นในเซรามิกที่มี BT เป็นองค์ประกอบหลัก ( $0.75 \leq x \leq 0.95$ ) จะมีแนวโน้มการเปลี่ยนแปลงของค่าคงที่ไดอิเล็กทริกในทิศทางที่ลดลงเมื่อความเค้นเพิ่มขึ้น นอกจากนี้ในระบบเซรามิก  $(1-x)\text{PZT}-x\text{BT}$  ที่ผ่านการทำข้าวแล้ว พบร่วมกับการเปลี่ยนแปลงของค่าคงที่ไดอิเล็กทริกเพิ่มขึ้นเมื่อความเค้นเพิ่มขึ้น ดังรูปที่ 2.24-2.29 ทั้งนี้ในเซรามิกที่ผ่านการทำข้าวแล้วนั้น จะมีการเปลี่ยนแปลงของสมบัติไดอิเล็กทริกที่แน่นอนมากกว่าในเซรามิกที่ยังไม่ผ่านการทำข้าว ซึ่งมีลักษณะคล้ายกับการเปลี่ยนแปลงในเซรามิก PMN-PZT ทั้งที่ผ่านการทำข้าวแล้ว และยังไม่ได้ผ่านการทำข้าว จากการวิจัยของสุพัตรา



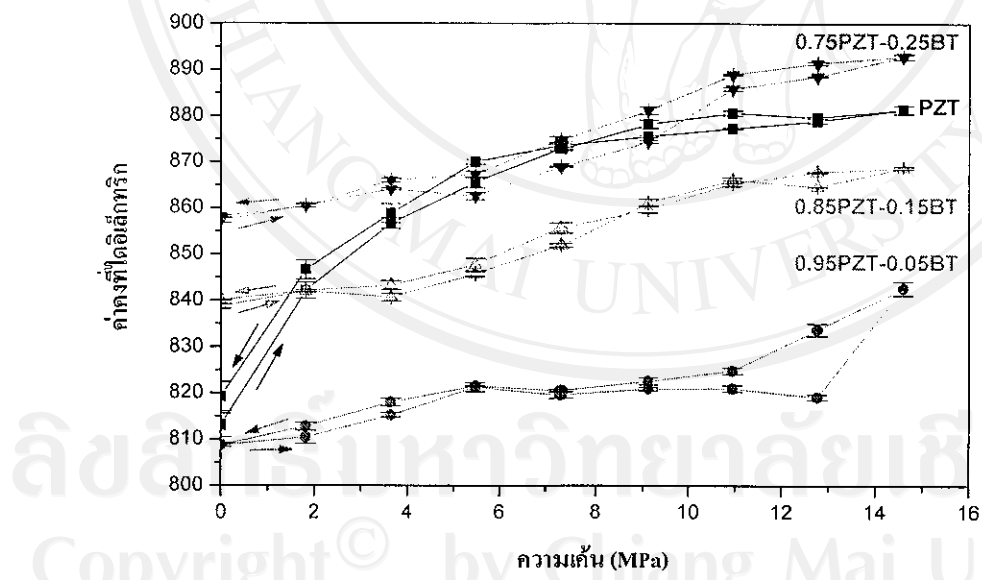
รูป 2.24 กราฟแสดงความสัมพันธ์ระหว่างค่าคงที่ไดอิเล็กทริกกับความดันของเซรามิก PZT, 0.95PZT-0.05BT, 0.85PZT-0.15BT และ 0.75PZT-0.25BT ที่ไม่ถูกทำขึ้น[21]



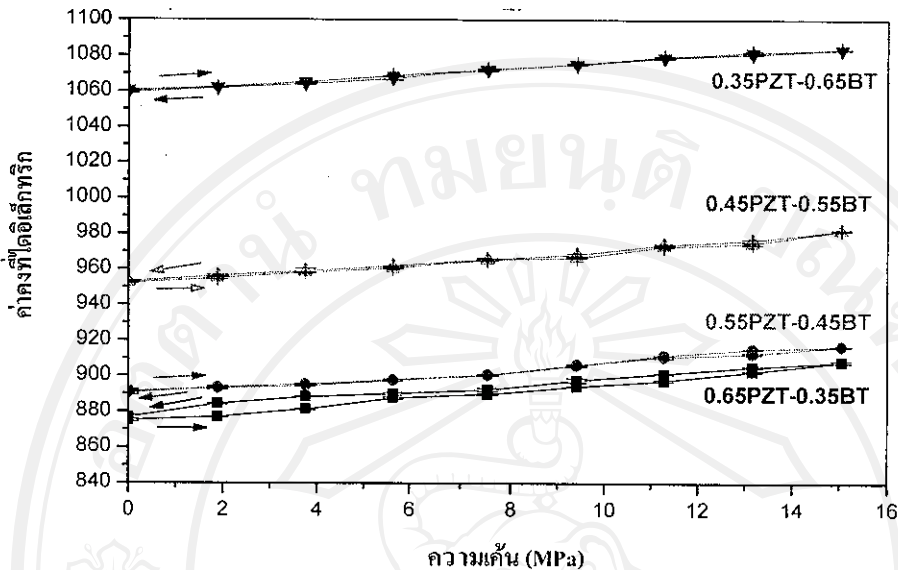
รูป 2.25 กราฟแสดงความสัมพันธ์ระหว่างค่าคงที่ไดอิเล็กทริกกับความดันของเซรามิก 0.65PZT-0.35BT, 0.55PZT-0.45BT, 0.45PZT-0.55BT และ 0.35PZT-0.65BT ที่ไม่ถูกทำขึ้น[21]



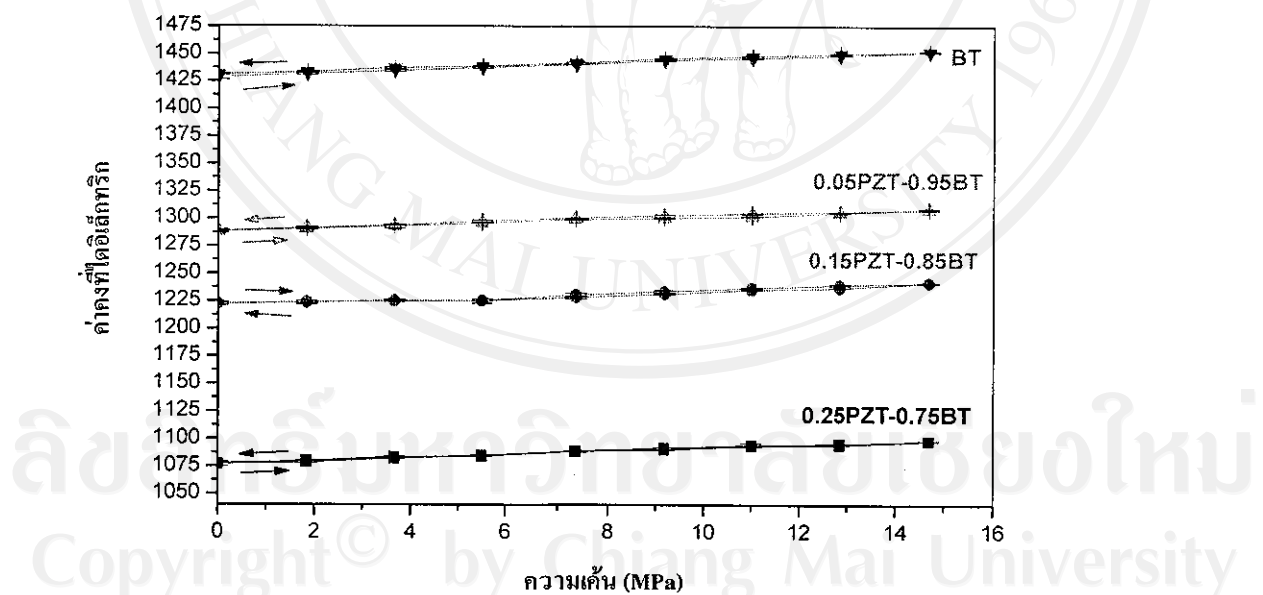
รูป 2.26 กราฟแสดงความสัมพันธ์ระหว่างค่าคงที่ไดอีเล็กทริกกับความดันของเซรามิก 0.25PZT-0.75BT, 0.15PZT-0.85BT, 0.05PZT-0.95BT และ BT ที่ไม่ถูกทำข้าว[21]



รูป 2.27 กราฟแสดงความสัมพันธ์ระหว่างค่าคงที่ไดอีเล็กทริกกับความดันของเซรามิก PZT, 0.95PZT-0.05BT, 0.85PZT-0.15BT และ 0.75PZT-0.25BT ที่ผ่านการทำข้าวแล้ว[21]



รูป 2.28 กราฟแสดงความสัมพันธ์ระหว่างค่าคงที่ไดอิเล็กทริกกับความเค้นของเซรามิก 0.65PZT-0.35BT, 0.55PZT-0.45BT, 0.45PZT-0.55BT และ 0.35PZT-0.65BT ที่ผ่านการทำข้าวแล้ว[21]



รูป 2.29 กราฟแสดงความสัมพันธ์ระหว่างค่าคงที่ไดอิเล็กทริกกับความเค้นของเซรามิก 0.25PZT-0.75BT, 0.15PZT-0.85BT, 0.05PZT-0.95BT และ BT ที่ผ่านการทำข้าวแล้ว[21]

สำหรับเซรามิกในระบบ PMN-PT, PIN-PT และ PZT-PZN ยังไม่พบว่ามีการศึกษาถึงสมบัติโคลอิเด็กทริกภายในได้ความคื้นแบบแคนเดี่ยวของสารเซรามิกในระบบบันจี้ จึงเป็นที่น่าสนใจในการทำการศึกษาอิทธิพลดังกล่าว เพื่อเป็นการสร้างองค์ความรู้ใหม่และเป็นส่วนช่วยในการนำไปประยุกต์ใช้งานจริง หรือศึกษาสมบัติอื่นๆต่อไปได้



ลิขสิทธิ์มหาวิทยาลัยเชียงใหม่  
Copyright © by Chiang Mai University  
All rights reserved